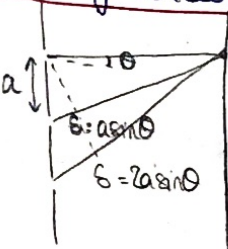


LP. Diffraction par des structures périodiques de  $\neq$  domaines de la  $\Psi$ .

Intro.: Diffraction  $\rightarrow$  phénomène qui se répète de  $\neq$  pas de la  $\Psi$  et le but aid est d'en étudier 2 ainsi que leurs applications

## I / Diffraction par un réseau

### 1) Interférences à Nondes : Rappels



Onde résultante:  $s = s_0 e^{iN\Delta\phi}$

$$s = s_0 \frac{1 - e^{iN\Delta\phi}}{1 - e^{-iN\Delta\phi}}$$

$$\Delta\phi = \frac{2\pi\theta}{\lambda} = \frac{2\pi a \sin\theta}{\lambda}$$

Diapo

$$s = s_0 \sum_{n=0}^{N-1} e^{in\Delta\phi}$$

$$\text{somme géométrique de raisen } e^{-i\Delta\phi}$$

$$= s_0 e^{\frac{i(N-1)\Delta\phi}{2}} \frac{\sin\left(\frac{N\Delta\phi}{2}\right)}{\sin\left(\frac{\Delta\phi}{2}\right)}$$

$$I = |s|^2 = I_0 \frac{\sin^2\left(\frac{N\pi a \sin\theta}{\lambda}\right)}{\sin^2\left(\frac{\pi a \sin\theta}{\lambda}\right)}$$

Rémarque : La finesse du réseau est  $F = \frac{\Delta\lambda}{\lambda}$  — écart entre 2 pics

Ici  $F = N$  — Largeur à mi hauteur d'un pic

Transition : Au plus il y a de fentes, au mieux on distingue les pics.

2) Prise en compte de la diffraction.

On considère que chaque fente a une largeur  $b$ .

Diapo diffraction Fraunhofer

Fonction de transmittance du réseau :  $t(\alpha) = \underbrace{\prod_{n=0}^{N-1} \delta(\alpha - na)}_{\text{peigne de Dirac}} \otimes \underbrace{\Pi_b(\alpha)}_{\text{fonction porte}}$

$$\sum_{n=0}^{N-1} \delta(\alpha - na)$$

$$\begin{cases} \Pi_b(\alpha) = 1 & \text{si } |\alpha| < b/2 \\ 0 & \text{sinon} \end{cases}$$

En utilisant le formalisme de Fourier :

$$A(\theta) \propto \text{TF}(t(\alpha)) \propto \text{TF}(\prod_{n=0}^{N-1} \delta(\alpha - na)) \cdot \text{TF}(\Pi_b(\alpha))$$

$$\propto \frac{\sin\left(\frac{N\pi a \sin\theta}{\lambda}\right)}{\sin\left(\frac{\pi a \sin\theta}{\lambda}\right)} \times \text{sinc}\left(\frac{\pi b \sin\theta}{\lambda}\right)$$

$$\text{Donc } I(\theta) = I_0 \frac{\sin\left(\frac{N\pi a \sin\theta}{\lambda}\right)}{\sin^2\left(\frac{\pi a \sin\theta}{\lambda}\right)} \times \text{sinc}^2\left(\frac{\pi b \sin\theta}{\lambda}\right)$$

facteur de structure "fonction diffraction"

### 3) Réseau blazé

Principe: changer l'angle d'incidence permet de sélectionner un autre ordre

Changer ~~pas de la face~~ en prenant ~~pas de la face~~ le facteur de structure :

$$\frac{\pi b \sin \theta}{2\lambda} \leftrightarrow \frac{\pi b (\sin \theta + \sin \beta)}{\lambda}$$

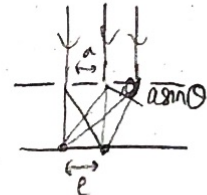


Animat° univ le mans

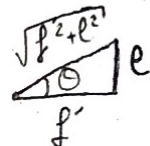
### 4) Application: la coulure des solides

But: déterminer le pas de l'aile d'un colibri.

$$\text{Formule des réseaux: } a = \frac{\lambda}{\sin \theta}$$



$$\text{Ecart entre 2 ordres: } l \approx 2\text{cm} \quad f' \approx 5\text{cm} \Rightarrow \sin \theta = \frac{l}{\sqrt{f'^2 + l^2}}$$



$$\text{Application numérique: } \sin \theta \approx 0,37 \quad \lambda \approx 600\text{ nm}$$

$$\Rightarrow a \approx 1\mu\text{m}$$

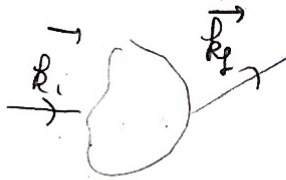
OK: distance entre les bulles écoulées de  $0,05\mu\text{m}$

VII Transition: On a vu la diffraction à 1D avec des ondes lumineuses, essayons de trouver une analogie avec un modèle à 3D

## II / Diffraction par des rayons X

### 1) Position du problème

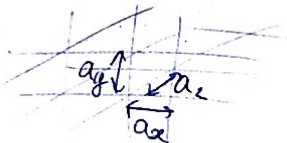
(OG p. montre l'intérêt rayon X sur slide)  
Formule des réseaux sur les 3 dimensions:



$$k_{xi} - k_{xf} = \frac{2\pi}{a_x} p_1$$

$$k_{yi} - k_{yf} = \frac{2\pi}{a_y} p_2 \quad p_1, p_2, p_3 \in \mathbb{Z}$$

$$k_{zi} - k_{zf} = \frac{2\pi}{a_z} p_3$$



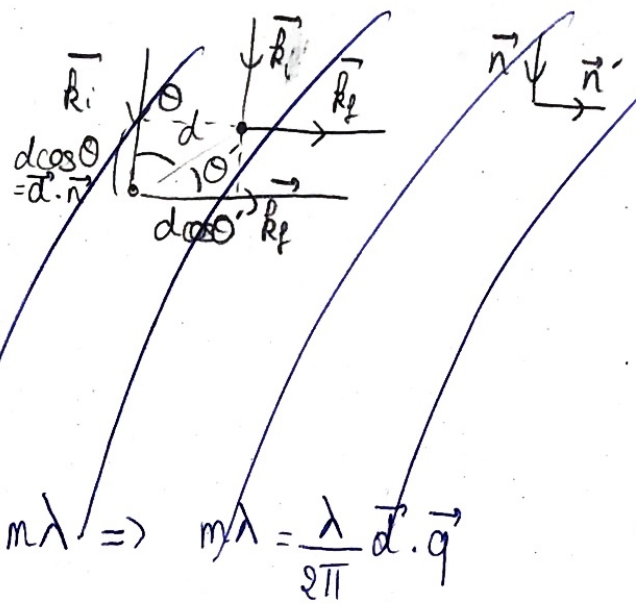
On considère un choc élastique des rayons incident sur le réseau  
donc  $\|k_i\| = \|k_f\|$

Transit: 3 degrés de liberté, 4 conditions  $\rightarrow$  en général pas de figure  
 $\hookrightarrow$  mais des conditions très précises, ça marche

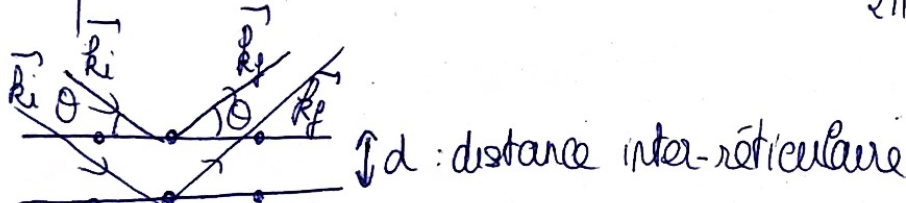
## 2) Conditions de Bragg

On pose  $\vec{q} = \vec{k}_i - \vec{k}_f$

$$\begin{aligned} S &= d \cos \theta + d \cos \theta' \\ &= d \cdot \vec{n} - d \cdot \vec{n}' \\ &= \frac{\lambda}{2\pi} d \cdot (\vec{k}_i - \vec{k}_f) \end{aligned}$$



Interférence constructive si  $S = m\lambda \Rightarrow m\lambda = \frac{\lambda}{2\pi} d \cdot \vec{q}$



$$S = 2d \sin \theta \rightarrow \Delta \Psi = \frac{2\pi S}{\lambda} = \frac{4\pi d \sin \theta}{\lambda}$$

Constructif si  $\Delta \Psi = 2\pi n \Rightarrow \boxed{n\lambda = 2d \sin \theta}$  Relat° de Bragg  
ordre

Trajet → On retrouve une sorte de formule des réseaux.

De la même façon, on va chercher à trouver des facteurs de structure et de forme qui sont propres à notre étude.

## 3) Facteur de structure et de forme

$\rho(\vec{r}) \leftrightarrow \rho(\vec{r})$ : densité d'objets diffusants ( $e^-$ )

$$\text{On } \rho(\vec{r}) = \rho_{\text{motif}}(\vec{r}) \otimes \sum_{u,o,w} S(\vec{r} - \vec{R}_{u,o,w})$$

$$\vec{R}_{u,o,w} = u\vec{x} + o\vec{y} + w\vec{z}$$

avec  $\rho_{\text{motif}}(\vec{r}) = \sum_{\substack{\text{atome } i \text{ de} \\ \text{la maille}}}^{(i)} \rho_{\text{at}}^{(i)}(\vec{r}) \otimes S(\vec{r} - \vec{r}_i)$  point des atomes de le motif.

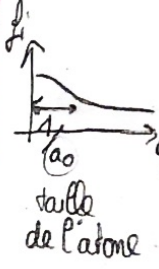
Par analogie avec l'optique de Fourier:

$A(\vec{q}) \leftrightarrow \rho(\vec{r})$  de r'facteur de diffraction abso

$$A(\vec{q}) \overset{\text{TF}}{\leftrightarrow} \rho_{\text{motif}}(\vec{r}) \cdot \text{TF} \left( \sum_{u,o,w} S(\vec{r} - \vec{R}_{u,o,w}) \right)$$

$$A(\vec{q}) = A_0 \sum_{R,R',e} S(\vec{q} - \vec{K}_{R,R',e}) \sum_i \left( \int \rho_{at}^{(i)}(\vec{r}) e^{-i\vec{q} \cdot \vec{r}} d\vec{r} \right) e^{-i\vec{q} \cdot \vec{r}_i}$$

facteur de forme (posit° des pics)  
 ↳ réseau parallèles de mailles symétriques  
 facteur de diffusion atomique  $f_i$   
 facteur de structure (intensité des pics)  
 ↳ motifs



#### 4) Application : détermination de la structure de l'ADN

(→ Compréhension pour A-T et C-G grâce à ça).

Deux brins OK cf densité de l'ADN mesurée par Watson.

Image → Rosalind Franklin en 1952  $\Rightarrow$  Crick et Watson interprètent Ccl° : On sait corrélée désormais figure de diffraction et structure périodique  
 Ouverte : Structures de bandes ?  
 ↳ brins condensés.

Condition de Bragg : diffusé par  $\vec{q}$  si  $\vec{q} \in RR'$

Intensité diffusée  $\rightarrow$  pic de Bragg

Pic de Bragg  $\rightarrow$  pic très marqué de la courbe de Bragg : évolut° de la perte d'énergie des radiai° ionisantes au cours de leur trajet de la matière.